

## 微乳法制备纳米 $\text{TiO}_2/\text{SiO}_2$ 的结构及光催化研究

蒲玉英<sup>1</sup> 方建章<sup>\*1</sup> 彭 峰<sup>2</sup> 李 浩<sup>2</sup>

(<sup>1</sup> 华南师范大学化学与环境学院, 广州 510006)

(<sup>2</sup> 华南理工大学化工与能源学院, 广州 510640)

关键词: 纳米  $\text{TiO}_2/\text{SiO}_2$ ; TX-100; 微乳; 结构; 光催化

中图分类号: O614.41<sup>+1</sup>; O613.72; TB383

文献标识码: A

文章编号: 1001-4861(2007)06-1045-06

### Structure and Photocatalytic Activity of Nanosized $\text{TiO}_2/\text{SiO}_2$ Particles Prepared by Microemulsion

PU Yu-Ying<sup>1</sup> FANG Jian-Zhang<sup>\*1</sup> PENG Feng<sup>2</sup> LI Hao<sup>2</sup>

(<sup>1</sup>School of Chemistry and Environment, South China Normal University, Guangzhou 510006)

(<sup>2</sup>School of Chemical and Energy Engineering, South China University of Technology, Guangzhou 510640)

**Abstract:** Nanosized  $\text{TiO}_2$  and  $\text{TiO}_2/\text{SiO}_2$  particles were prepared by hydrolysis of tetrabutyl titanate (TBOT) and tetraethyl orthosilicate (TEOS) in the TX-100 reverse microemulsion. These particles were characterized by TG-DSC, XRD, FTIR, TEM,  $\text{N}_2$  adsorption-desorption. Their photocatalytic activity was tested by degradation of methyl orange. The result shows that  $\text{TiO}_2/\text{SiO}_2$  nanoparticles are with a monodispersed spherical phase and a uniform size distribution, and  $\text{TiO}_2$  particles are dispersed on the surface of  $\text{SiO}_2$ . The band for Ti-O-Si vibration in FTIR was observed, the Ti-O-Si bond increased the stability of anatase  $\text{TiO}_2$ , suppressed the phase transformation of titania from anatase to rutile. And due to the addition of  $\text{SiO}_2$ , the average size of titania decreased from 38 nm in pure  $\text{TiO}_2$  to 5 nm in  $\text{TiO}_2/\text{SiO}_2$ . It was found, under UV light irradiation,  $\text{TiO}_2/\text{SiO}_2$  particles showed higher activity than pure  $\text{TiO}_2$ , and  $\text{TiO}_2/\text{SiO}_2$  (1/1) particles showed the highest photocatalytic activity on the photocatalytic decomposition of methyl orange, which was influenced by crystal structure, particle size, crystallinity and Surface area Characteristics.

**Key words:** nanosized  $\text{TiO}_2/\text{SiO}_2$  particles; TX-100; microemulsion; structure; photocatalysis

由于  $\text{TiO}_2$  具有较高的光催化活性, 无毒, 成本低, 因而成为当前光催化研究的热点。但是,  $\text{TiO}_2$  禁带宽度为 3.2 eV, 只能吸收波长小于 387 nm 的紫外光, 而这部分紫外光仅占太阳光的 3%~5%, 对太阳光的利用率极低。另外,  $\text{TiO}_2$  在光照下被激发产生的电子-空穴对容易复合, 致使光量子效率低。为了优

化  $\text{TiO}_2$  的光催化性能, 研究人员做了大量相关工作。一方面, 对  $\text{TiO}_2$  进行掺杂改性, 如非金属掺杂<sup>[1-3]</sup>、贵金属掺杂<sup>[4]</sup>、过渡金属掺杂<sup>[5]</sup>、半导体复合(如  $\text{CdS}/\text{TiO}_2$ 、 $\text{ZnO}/\text{TiO}_2$ 、 $\text{SnO}_2/\text{TiO}_2$ 、 $\text{SiO}_2/\text{TiO}_2$ )等<sup>[6-8]</sup>。据文献报道<sup>[9]</sup>, 负载型  $\text{TiO}_2/\text{SiO}_2$  能提高  $\text{TiO}_2$  的光催化活性和沉降性能。Hong 等<sup>[8]</sup>采用阴离子表面活性剂

收稿日期: 2006-09-27。收修改稿日期: 2007-02-27。

广东省科技计划项目(No.2005A10702002)和广东省绿色化学产品技术重点实验室开放基金(No.GC200605)资助项目。

\*通讯联系人。E-mail: fangjzh@scnu.edu.cn

第一作者: 蒲玉英, 女, 27岁, 硕士生, 研究方向: 主要从事光催化材料的研究。

AOT/环己烷/水的微乳液合成了复合纳米  $\text{TiO}_2/\text{SiO}_2$ , 发现  $\text{SiO}_2$  的掺杂不仅提高了  $\text{TiO}_2$  的光催化活性, 还提高了  $\text{TiO}_2$  的热稳定性, 且  $\text{TiO}_2/\text{SiO}_2$ (物质的量比为 90/10)的光催化效果最佳。另一方面, 用不同的合成方法制备出纳米颗粒, 甚至小于 10 nm, 从而产生小尺寸效应, 可以减少电子-空穴对的复合。合成  $\text{TiO}_2$  的方法很多, 目前使用最多的是溶胶-凝胶法; 反向微乳液法是合成纳米材料的理想方法, 所用仪器设备简单, 反应条件温和, 并可控制粒径大小, 制得的纳米粒子粒径分布均匀, 因而受到研究者们的青睐。反向微乳液法可通过控制反应物在彼此隔离的小“水池”里反应而制备纳米粒子, 其中的表面活性剂就象“笼子”似的包覆在粒子表面, 从而阻止了粒子的进一步成核、增长和聚集<sup>[10]</sup>。

本文采用非离子表面活性剂 TX-100/正己醇/环己烷/氨水的微乳液合成出纳米  $\text{TiO}_2$  和不同物质的量比的纳米  $\text{TiO}_2/\text{SiO}_2$ , 用 TGA-DSC、XRD、FT-IR、TEM、 $\text{N}_2$  吸附-脱附等手段对其进行表征, 并以偶氮染料甲基橙(MO)作为目标污染物, 讨论了在紫外光下降解 MO 时影响催化剂催化活性的主要因素。

## 1 实验部分

### 1.1 试 剂

钛酸丁酯(TBOT), 硅酸乙酯(TEOS), 聚乙二醇辛基苯基醚(TX-100, 化学纯), 正丁醇, 环己烷, 氨水(化学纯), 乙醇, 溴化钾(光谱纯), 甲基橙, 未注明的试剂均为分析纯试剂, 蒸馏水自制。

### 1.2 纳米光催化剂的制备

室温下, 将环己烷、TX-100、正己醇按 70:17:13 的体积比在磁力搅拌下混合均匀, 然后滴加蒸溜水至透明, 再用少量的浓氨水调节 pH 值为 10 左右, 磁力搅拌 0.5 h, 即制得水核大小分布均一、透明的、热力学稳定的微乳液。在此微乳液中, 保持  $c_{\text{H}_2\text{O}}/c_{\text{TX-100}}$  值为 17,  $c_{\text{H}_2\text{O}}/(c_{\text{TBOT}}+c_{\text{TEOS}})$  值为 8。然后向微乳液中以  $0.025 \text{ mL}\cdot\text{s}^{-1}$  的速度注射硅酸乙酯, 反应 3 h 后, 可观察到乳光现象; 待反应进行 36 h 后, 再注射一定量钛酸丁酯于微乳液中, 然后搅拌 12 h 直到变为乳白色。以  $4000 \text{ r}\cdot\text{min}^{-1}$  的转速离心分离, 倒掉上层清液, 所得产物用无水乙醇洗涤 5 次, 然后在 105 °C 烘干 12 h, 再分别于一定温度下煅烧 3 h, 自然冷却, 用玛瑙研钵研磨, 即得所制备的样品, 样品分别用代号  $\text{TiO}_2/\text{SiO}_2(n/n)$  表示,  $n/n$  表示  $\text{TiO}_2$  和  $\text{SiO}_2$  的物质的量比。

### 1.3 纳米光催化剂的分析与表征

用德国耐驰 STA449C/41G 型热重分析仪对样品进行热重-差热(TGA-DSC)分析, 以确定样品晶型转变温度; 用日本理学公司 D/max-ⅢA 型全自动 X 射线衍射仪(XRD)测定样品的晶相结构, 辐射源  $\text{Cu K}\alpha$  工作条件  $30 \text{ kV}/30 \text{ mA}$ , 扫描范围  $20^\circ\sim80^\circ$ , 并用 Scherrer 方程计算晶粒大小; 用日本岛津 IRPrestige-21 型傅立叶-红外光谱仪(FTIR)对样品进行表面结构分析; 采用日本电子公司 JEOL-100CXII 型透射电子显微镜(TEM)观察催化剂的外部结构和颗粒大小, 透射电镜的激发电压为 100 kV; 采用美国麦克 ASAP2020M 比表面分析仪对纳米  $\text{TiO}_2/\text{SiO}_2$  的比表面积、孔径和孔容进行表征。

### 1.4 光催化活性评价

光催化实验在圆形玻璃缸中进行, 紫外灯(15 W, 主波长为 254 nm)距离反应液液面 10 cm。室温下, 将 0.1 g 催化剂加入到 100 mL  $10 \text{ mg}\cdot\text{L}^{-1}$  的甲基橙溶液中, 黑暗环境中磁力搅拌 0.5 h 以达到吸附脱附平衡, 然后开始紫外灯照射, 每隔一定时间移取适量反应液, 以  $4000 \text{ r}\cdot\text{min}^{-1}$  的转速离心分离, 取上层清液, 用 722S 型分光光度计在甲基橙的最大吸收波长 464 nm 处测定吸光度。以甲基橙的降解率来评价催化剂的光催化活性。

降解率的计算:  $D=\frac{A_0-A_t}{A_0}\times100\%$ , 是甲基橙溶液未光照时的吸光度, 是甲基橙溶液在光照  $t$  时刻的吸光度。

## 2 结果与讨论

### 2.1 表 征

#### 2.1.1 TG-DSC 分析

图 1 为  $\text{TiO}_2/\text{SiO}_2(1/1)$  的热重-差热分析图。从 TG 曲线可以看出:  $\text{TiO}_2/\text{SiO}_2$  的失重有 3 个台阶,  $\text{TiO}_2/\text{SiO}_2$  的重量在低于 100 °C 时减轻较少, 仅 2%, 这主要是物理吸附水的挥发; 在 100~340 °C 温度范围内, 重量迅速减少了 20%, 可归属于表面活性剂 TX-100 的分解; 而在 340~500 °C 温度范围内, 重量减少了 12%, 主要归结为残留表面活性剂和残留-OH 的去除, 然后加热直到 900 °C 为止, 样品重量没有明显的变化。

在 DSC 曲线上, 在 340、450 和 550 °C 附近分别出现了放热峰。通过分析得知, 340 °C 和 450 °C 放热峰是残留表面活性剂和残留-OH 的分解所致。而在

550 °C没有失重，此温度出现的放热峰可归属于  $\text{TiO}_2/\text{SiO}_2$  由无定型相向锐钛矿型转变。

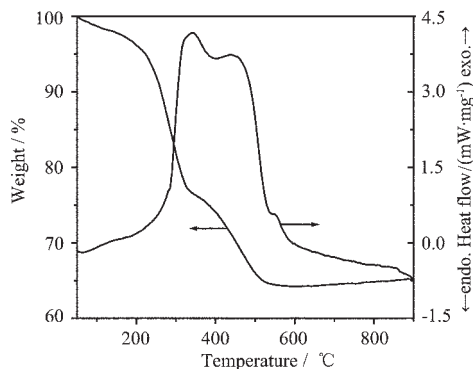


图1 用TX-100表面活性剂合成纳米  $\text{TiO}_2/\text{SiO}_2$ (1/1)的热重-差热分析图

Fig.1 TG-DSC curves of  $\text{TiO}_2/\text{SiO}_2$ (1/1) particles synthesized using TX-100 as a surfactant

### 2.1.2 FTIR分析

图2是在600 °C焙烧的不同物质的量比  $\text{TiO}_2/\text{SiO}_2$  在4 000~400 cm<sup>-1</sup>范围内的红外光谱图。据报道<sup>[10]</sup>,在3 416 cm<sup>-1</sup>和1 630 cm<sup>-1</sup>处的红外吸收带,是H<sub>2</sub>O和O-H的伸缩振动和弯曲振动吸收峰。而波数为956和1 101 cm<sup>-1</sup>的红外吸收峰可归属于Si-O-Ti的振动吸收峰和Si-O-Si的非对称性伸缩振动吸收峰。根据文献报道<sup>[11]</sup>,在800 cm<sup>-1</sup>和474 cm<sup>-1</sup>处的吸收峰分别是Si-O-Si的对称性伸缩振动吸收峰和变形伸缩振动吸收峰。随  $\text{SiO}_2$  含量的增加, Si-O-Si在1 101、800和474 cm<sup>-1</sup>处的吸收峰逐渐增强,由此可见,随  $\text{SiO}_2$  含量的增加,裸露的  $\text{SiO}_2$  越来越多。

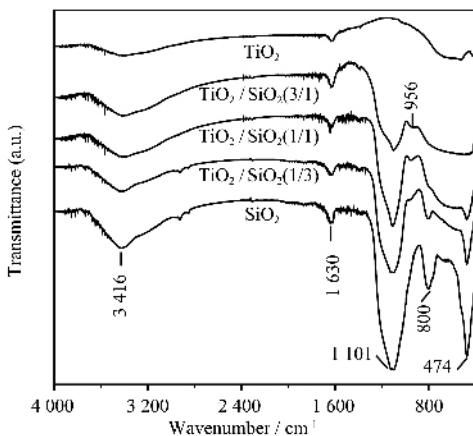


图2 600 °C下焙烧的纯  $\text{TiO}_2$  和不同物质的量比  $\text{TiO}_2/\text{SiO}_2$  的FTIR光谱

Fig.2 FTIR spectra of the pure  $\text{TiO}_2$  and  $\text{TiO}_2/\text{SiO}_2$  nanoparticles calcined at 600 °C

### 2.1.3 XRD分析

图3是纳米  $\text{TiO}_2/\text{SiO}_2$ (1/1)(a)和  $\text{TiO}_2$ (b)在不同焙烧温度时的XRD图。在100 °C下干燥的样品均为无定型,纯  $\text{TiO}_2$  在较低温度下是以锐钛矿相存在,在400 °C出现了金红石相,在700 °C完全转化为金红石;而  $\text{TiO}_2/\text{SiO}_2$  在700 °C未出现金红石相,在800 °C时也仅有少量的金红石相出现;同时,直到900 °C也没出现  $\text{SiO}_2$  的特征衍射峰,说明  $\text{SiO}_2$  仍然是以无定型存在。 $\text{SiO}_2$  和  $\text{TiO}_2$  之间存在着相互作用, $\text{SiO}_2$  周围的Si-O-Ti对  $\text{TiO}_2$  的锐钛矿晶型起到稳定作用<sup>[12]</sup>,从而抑制  $\text{TiO}_2$  锐钛矿向金红石型的转变,增加了热稳定性,因此可在更高的温度下焙烧,使  $\text{TiO}_2$  的结构更加有序,减少体相缺陷,从而得到高结晶度的锐钛矿型  $\text{TiO}_2$ ,这和文献结果一致<sup>[8]</sup>。

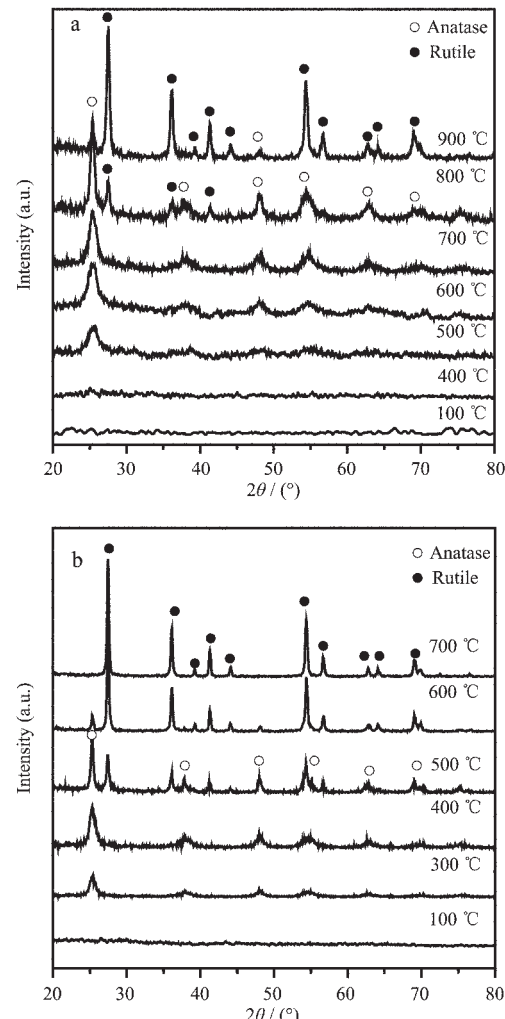


图3 纳米  $\text{TiO}_2/\text{SiO}_2$ (1/1)(a)和  $\text{TiO}_2$ (b)在不同焙烧温度下的XRD图

Fig.3 XRD patterns of  $\text{TiO}_2/\text{SiO}_2$ (1/1)(a) and  $\text{TiO}_2$ (b) nanoparticles calcined at different temperatures

另外,随着焙烧温度的升高,特征衍射峰宽度明显变窄,由此可说明随着焙烧温度的升高,晶粒快速生长,从而粒径增大。通过 Scherrer 方程计算出样品中  $\text{TiO}_2$  晶粒大小如表 1 所示,纯  $\text{TiO}_2$  在焙烧温度为 400 ℃到 700 ℃粒径从 11 nm 增加到 39 nm,而  $\text{TiO}_2/\text{SiO}_2$  在此焙烧温度范围粒径仅从 4 nm 增加到 6 nm,焙烧温度为 900 ℃时,粒径仅为 14 nm,由此也可说明  $\text{SiO}_2$  的负载可阻止  $\text{TiO}_2$  粒子长大,从而减小  $\text{TiO}_2$  的晶粒尺寸。

#### 2.1.4 TEM 分析

图 4 是  $\text{TiO}_2$  和不同物质的量比的  $\text{TiO}_2/\text{SiO}_2$  的透射电镜图。由图可看出,用 TX-100/正己醇/环己烷/水微乳体系制备  $\text{TiO}_2$  和  $\text{TiO}_2/\text{SiO}_2$  呈单分散状态,颗粒分布均匀,纯  $\text{TiO}_2$  粒径为 38 nm,  $\text{TiO}_2/\text{SiO}_2$

复合样品中,根据制备的条件可判断,成球形的是  $\text{SiO}_2$ ,随  $\text{SiO}_2$  含量的增加,球体的粒径从 54 nm 增大到 77 nm;球表面的小颗粒为  $\text{TiO}_2$ ,比纯  $\text{TiO}_2$  粒径小很多。由此可见, $\text{SiO}_2$  的添加,能抑制  $\text{TiO}_2/\text{SiO}_2$  中的  $\text{TiO}_2$  晶粒粒径的增长,而且随  $\text{SiO}_2$  含量的增加, $\text{TiO}_2$  晶粒粒径稍有减小,粒径分别为 5、4.5 和 4 nm。

#### 2.1.5 $\text{N}_2$ 吸附-脱附分析

测定了主要实验样品的比表面积,结果如表 2 所示。从表 2 可以看出, $\text{SiO}_2$  的加入会导致纳米  $\text{TiO}_2/\text{SiO}_2$  比表面积比纳米  $\text{TiO}_2$  的比表面积大,但是从测试结果可以发现,随着  $\text{SiO}_2$  的含量从 1/3 增加到 3/1,纳米  $\text{TiO}_2/\text{SiO}_2$  的比表面积从  $157.7 \text{ m}^2 \cdot \text{g}^{-1}$  减小至  $95.5 \text{ m}^2 \cdot \text{g}^{-1}$ ;孔容则随着  $\text{SiO}_2$  的含量从 0 增加

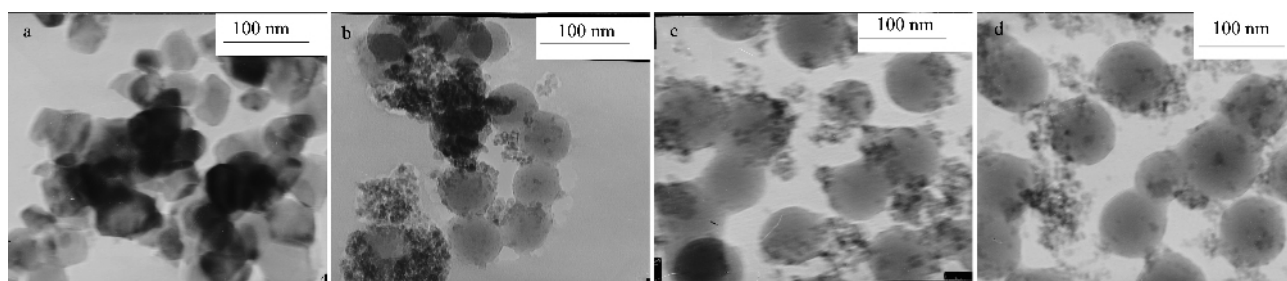
表 1 从 XRD 图得到  $\text{TiO}_2/\text{SiO}_2(1/1)$  和  $\text{TiO}_2$  在不同温度下焙烧后的结构和粒径

Table 1 Characteristics of  $\text{TiO}_2/\text{SiO}_2(1/1)$  and  $\text{TiO}_2$  nanoparticles calcined at different temperatures from XRD patterns

Calcination temperature / °C	$\text{TiO}_2$			$\text{TiO}_2/\text{SiO}_2(1/1)$	
	Structure	Crystallite size / nm		Structure	Crystallite size / nm
300	A	9		-	-
400	A	11		-	-
500	A/R	25 / 28		A	4
600	R/A	36 / 34		A	4.5
700	R	39		A	6
800				A/R	11 / 13
900				R/A	19 / 14

A: anatase, R: rutile.

Crystallite size was obtained by Scherrer equation.



(a) $\text{TiO}_2$ , (b) $\text{TiO}_2/\text{SiO}_2(3/1)$ , (c) $\text{TiO}_2/\text{SiO}_2(1/1)$ , (d) $\text{TiO}_2/\text{SiO}_2(1/3)$

图 4 600 ℃下焙烧的纯  $\text{TiO}_2$  和不同物质的量比  $\text{TiO}_2/\text{SiO}_2$  的 TEM 照片

Fig.4 TEM images of pure  $\text{TiO}_2$  and  $\text{TiO}_2/\text{SiO}_2$  nanoparticles calcined at 600 °C

表 2 600 ℃下焙烧的纳米  $\text{TiO}_2/\text{SiO}_2$  的比表面积、孔径和孔容表征

Table 2 BET surface area, pore volume, pore size of  $\text{TiO}_2/\text{SiO}_2$  nanoparticles calcined at 600 °C

Catalyst	Surface area / ( $\text{m}^2 \cdot \text{g}^{-1}$ )	Pore volume / ( $\text{cm}^3 \cdot \text{g}^{-1}$ )	Pore size / nm
$\text{TiO}_2$	20.4	0.11	28.74
$\text{TiO}_2/\text{SiO}_2(3/1)$	157.7	0.19	4.75
$\text{TiO}_2/\text{SiO}_2(1/1)$	113.0	0.25	8.78
$\text{TiO}_2/\text{SiO}_2(1/3)$	95.5	0.32	13.25

到 3/1, 相应地从  $0.11 \text{ cm}^3 \cdot \text{g}^{-1}$  增加到  $0.32 \text{ cm}^3 \cdot \text{g}^{-1}$ ; 同时,  $\text{SiO}_2$  的加入会导致纳米  $\text{TiO}_2/\text{SiO}_2$  孔径比纳米  $\text{TiO}_2$  的孔径显著减小, 随着  $\text{SiO}_2$  的含量从 1/3 增加到 3/1, 纳米  $\text{TiO}_2/\text{SiO}_2$  的孔径从 4.75 nm 增加到 13.25 nm。

## 2.2 光催化性能测试

$\text{TiO}_2$  和不同物质的量比的  $\text{TiO}_2/\text{SiO}_2$  的光催化活性通过在紫外光照射下对甲基橙的降解率来评价。如图 5 所示, 负载  $\text{SiO}_2$  的催化剂光催化效果比纯  $\text{TiO}_2$  好,  $\text{TiO}_2/\text{SiO}_2(1/1)$  表现出最高的光催化活性, 纯  $\text{TiO}_2$  的光催化活性最低。从 XRD 分析可知, 纯  $\text{TiO}_2$  在 600 ℃基本上是金红石型, 而  $\text{TiO}_2/\text{SiO}_2$  在 600 ℃都是锐钛矿型, 根据文献报道<sup>[13]</sup>, 金红石带隙能比锐钛矿相小, 光生电子-空穴对易复合, 锐钛矿光催化活性相应高于金红石相。从 TEM 照片看, 纯  $\text{TiO}_2$  的粒径比  $\text{TiO}_2/\text{SiO}_2$  中的  $\text{TiO}_2$  粒径大得多, 由于小尺寸效应,  $\text{TiO}_2/\text{SiO}_2$  比纯  $\text{TiO}_2$  表现出更高的光催化活性<sup>[14]</sup>。

$\text{TiO}_2/\text{SiO}_2$  的光催化效果并不是随  $\text{TiO}_2$  的含量

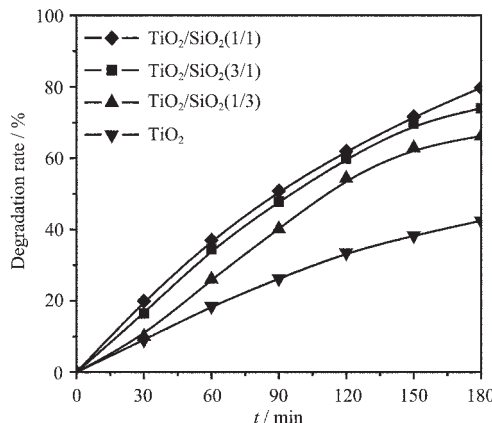


图 5 600 ℃下焙烧的  $\text{TiO}_2$  和  $\text{TiO}_2/\text{SiO}_2$  对甲基橙的降解率随时间的变化

Fig.5 Degradation rate of MO over  $\text{TiO}_2$  and  $\text{TiO}_2/\text{SiO}_2$  nanoparticles calcined at 600 ℃

增加而增加, 当其物质的量比为 1:1 时, 光催化效果最好。从 TEM 图中可看出,  $\text{TiO}_2/\text{SiO}_2$  的物质的量比为 3:1 时,  $\text{TiO}_2$  虽然较多的聚集在球形  $\text{SiO}_2$  的表面, 但是内部的  $\text{TiO}_2$  并未与污染物充分接触, 未能起到光催化的作用, 从而影响了其光催化性能; 而  $\text{TiO}_2/\text{SiO}_2$  的物质的量比为 1:3 时,  $\text{TiO}_2$  的有效质量相对减少, 因此降低了光催化效果。结合表 2 的数据发现, 比表面积从  $20.4 \text{ m}^2 \cdot \text{g}^{-1}$  增加到  $113.0 \text{ m}^2 \cdot \text{g}^{-1}$  时, 催化剂的催化效果相应地增加, 进一步增加比表面积到  $157.7 \text{ m}^2 \cdot \text{g}^{-1}$ , 光催化效果反而下降, 综合分析催化剂的表面性质发现, 当  $\text{TiO}_2/\text{SiO}_2$  的物质的量比为 1:1 时, 光催化效果最好。由于催化剂吸附性质与催化活性之间的关系非常复杂, 作者将在以后的工作中进一步展开研究。

图 6 是纯  $\text{TiO}_2$  和  $\text{TiO}_2/\text{SiO}_2(1/1)$  在不同温度下紫外光照射 3 h 的光催化活性比较。随焙烧温度的升高, 各自的光催化活性先升高后降低; 从 XRD 分析可知, 焙烧温度不同,  $\text{TiO}_2$  晶型不同, 随焙烧温度的升高,  $\text{TiO}_2$  晶型由无定型转变为锐钛矿型, 然后转变为金红石型, 纯  $\text{TiO}_2$  和  $\text{TiO}_2/\text{SiO}_2(1/1)$  分别在 400 ℃和 700 ℃时是锐钛矿晶型, 且结晶度最好, 同时也表现出各自最好的光催化活性, 但纯  $\text{TiO}_2$  的光催化活性不及  $\text{TiO}_2/\text{SiO}_2(1/1)$ 。根据文献报道<sup>[15]</sup>,  $\text{SiO}_2$  的加入增加  $\text{TiO}_2$  的热稳定性, 提高  $\text{TiO}_2$  锐钛矿型向金红石型转变温度, 由此可在更高的焙烧温度下制备结晶度高的锐钛矿型  $\text{TiO}_2$ , 有效地减少充当复合中心的体相缺陷, 从而提高光催化活性; 此外, 从 XRD 分析可知,  $\text{TiO}_2/\text{SiO}_2(1/1)$  的粒径比纯  $\text{TiO}_2$  粒径小很多, 产生量子尺寸效应, 从而更好的抑制电子-空穴对的复合, 这是  $\text{TiO}_2/\text{SiO}_2(1/1)$  比纯  $\text{TiO}_2$  的光催化活性高的另一原因。

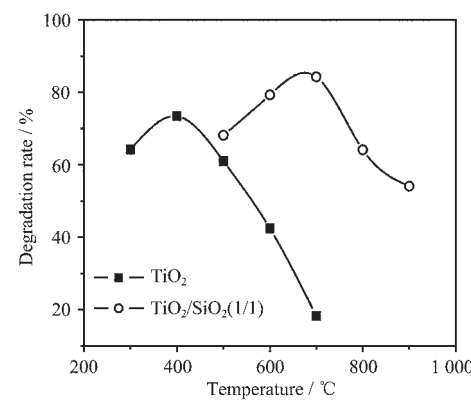


图 6  $\text{TiO}_2$  和  $\text{TiO}_2/\text{SiO}_2(1/1)$  在不同温度下光照 3 h 的光催化活性比较

Fig.6 Comparison of photo-catalytic activities of  $\text{TiO}_2$  and  $\text{TiO}_2/\text{SiO}_2(1/1)$  calcined at different temperatures

## 参考文献:

- [1] CHEN Song-Zhe(陈崧哲), ZHANG Peng-Yi(张彭义), ZHU Wan-Peng(祝万鹏), et al. *Cuihua Xuebao(Chinese J. Catal.)*, 2004, 25(7):515~517
- [2] Li D, Ohashi N, Hishita S, et al. *J. Solid State Chem.*, 2005, 178:3293~3302

- [3] LIU Hong-Yan(刘红艳), GAO Lian(高濂). *Wuji Cailiao Xuebao(J. Inorg. Mater.)*, **2005**,**20**(2):470~474
- [4] Coleman H M, Chiang K, Amal R. *Chem. Eng. J.*, **2005**,**113**:65~72
- [5] FENG Liang-Rong(冯良荣), LU Shao-Jie(吕绍洁), QIU Fa-Li(邱发礼). *Huaxue Xuebao(Acta Chim. Sinica)*, **2002**,**60**(3):463~467
- [6] Wu L, Yu J C, Fu X Z. *J. Mol. Catal. A: Chem.*, **2006**,**244**:25~32
- [7] Wang C, Xu B Q, Wang X M, et al. *J. Solid State Chem.*, **2005**,**178**:3500~3506
- [8] Hong S S, Lee M S, Park S S, et al. *Catal. Today*, **2003**,**87**:99~105
- [9] WANG Kan(王侃), CHEN Ying-Xiu(陈英旭), Ye Fen-Xia(叶芬霞). *Cuihua Xuebao(Chinese J. Catal.)*, **2004**,**25**(12):931~936
- [10]Lee M S, Lee G D, Ju C S, et al. *Sol. Energy Mater. & Sol. Cells*, **2005**,**88**:389~401
- [11]Wang Y M, Liu S W, Xiu Z L, et al. *Mater. Lett.*, **2006**,**60**:974~978
- [12]Anderson C, Bard A J. *J. Phys. Chem. B*, **1997**,**101**:2611~2616
- [13]Nakaoka Y, Nosaka Y. *J. Photochem. Photobiol. A: Chem.*, **1997**,**110**(3):299~305
- [14]Lee M S, Lee G D, Park S S, et al. *Res. Chem. Intermed.*, **2005**,**31**(4-6):379~389
- [15]Jung K Y, Park S B. *J. Photochem. Photobiol. A: Chem.*, **1999**,**127**:117~122